

КОМПЛЕКСНЫЕ ПОТЕНЦИАЛЫ ПЛОСКОЙ ЗАДАЧИ ТЕОРИИ ТРЕЩИН ДЛЯ МНОГОСВЯЗНОЙ ПЛАСТИНКИ

КАЛОЕРОВ С. А.

Общий вид комплексных потенциалов теории трещин для многосвязных пластинок в работе [1] найден методом введения дополнительной области, получаемой из данной ее зеркальным отображением относительно линии расположения трещин. После решения краевой задачи для трещины комплексные потенциалы определяются из граничных условий на контурах области и некоторых условий голоморфности функций. В настоящей статье получено другое представление комплексных потенциалов, более наглядное и удобное для некоторых классов задач. Установлена эквивалентность указанных представлений. Исследовано напряженное состояние пластинки с круговым отверстием и трещиной.

§ 1. Пусть пластинка, занимающая бесконечную многосвязную область S и ограниченная контурами L_m ($m = \overline{1, M}$), вдоль некоторой прямой разрезана отрезками $a_n b_n$ ($n = \overline{1, N}$). Пластинка находится под действием внешних усилий, приложенных на контурах L_m и разрезах $a_n b_n$. Отнесем пластинку к прямоугольной системе координат, совместив ось Ox с линией разрезов. Совокупность всех разрезов обозначим через L . Для простоты будем предполагать, что главный вектор внешних усилий на каждом из разрезов равен нулю.

Определение напряженного состояния рассматриваемой пластинки сводится к нахождению комплексных потенциалов $\Phi(z)$, $\Psi(z)$ из граничных условий на L и L_m .

Введем функцию [1, 3]

$$\Omega(z) = \Phi(z) + z\Phi'(z) + \Psi(z) \quad (1.1)$$

Комплексные потенциалы $\Phi(z)$, $\Omega(z)$ имеют вид

$$\Phi(z) = \Gamma + A(z) + \Phi^*(z); \quad \Omega(z) = \Gamma + \Gamma' + C(z) + \Omega^*(z) \quad (1.2)$$

где

$$\Gamma = \frac{1}{4}(N_1 + N_2) + i \frac{2\mu_2 \tau}{1 + \nu}; \quad \Gamma' = -\frac{1}{2}(N_1 - N_2) \exp(-2i\alpha)$$

$$A(z) = -\sum_{m=1}^M \frac{P_m}{z - z_m} \quad (1.3)$$

$$C(z) = \sum_{m=1}^M \left[\frac{\nu \bar{P}_m}{z - z_m} + \frac{z_m P_m}{(z - z_m)^2} \right]$$

$$P_m = \frac{X_m + iY_m}{2\pi(1+\kappa)}; \quad \kappa = \frac{3-\nu}{1+\nu}$$

$\Phi^*(z), \Omega^*(z)$ — функции, кусочно-голоморфные в многосвязной области S , включая точку $z = \infty$, и имеющие линию скачков L , причем вычеты этих функций в точках z_m равны нулю; X_m, Y_m — компоненты главного вектора внешних усилий, приложенных к контуру L_m ; z_m — произвольные точки внутри контуров L_m ; N_1, N_2 — значения главных напряжений на бесконечности; α — угол между осью, соответствующей N_1 и осью Ox ; ε^* — значение вращения на бесконечности; ν — коэффициент Пуассона; μ — модуль сдвига.

Функции (1.2) представим так:

$$\Phi(z) = \Phi_0(z) + \Phi_1(z); \quad \Omega(z) = \Omega_0(z) + \Omega_1(z) \quad (1.4)$$

Здесь

$$\Phi_0(z) = \Gamma + A(z) + \Phi^0(z); \quad \Omega_0(z) = \Gamma + \Gamma' + C(z) + \Omega^0(z) \quad (1.5)$$

$\Phi_1(z), \Omega_1(z)$ — функции, голоморфные в области S , включая и разрезы, причем их вычеты в точках z_m равны нулю; $\Phi^0(z), \Omega^0(z)$ — функции, кусочно-голоморфные в расширенной плоскости и имеющие линию скачков L , причем в окрестности точки $z = \infty$

$$\Phi^0(z) = O\left(\frac{1}{z^2}\right); \quad \Omega^0(z) = O\left(\frac{1}{z^2}\right)$$

Граничные условия на разрезах имеют вид

$$\sigma_y^+ - i\tau_{xy}^+ = f^+(t) \quad (1.6)$$

Для комплексных потенциалов $\Phi(z), \Omega(z)$ граничные условия представляются так [3]:

$$\begin{aligned} [\Phi(t) - \bar{\Omega}(t)]^+ - [\Phi(t) - \bar{\Omega}(t)]^- &= p(t) \\ [\Phi(t) + \bar{\Omega}(t)]^+ + [\Phi(t) + \bar{\Omega}(t)]^- &= g(t) \end{aligned} \quad (1.7)$$

где

$$p(t) = f^+(t) - f^-(t); \quad g(t) = f^+(t) + f^-(t) \quad (1.8)$$

Подставляя функции (1.4) в граничные условия (1.7) и учитывая голоморфность функций $\Phi_1(z), \Omega_1(z)$ на линии L , получаем

$$\begin{aligned} [\Phi_0(t) - \bar{\Omega}_0(t)]^+ - [\Phi_0(t) - \bar{\Omega}_0(t)]^- &= p(t) \\ [\Phi_0(t) + \bar{\Omega}_0(t)]^+ + [\Phi_0(t) + \bar{\Omega}_0(t)]^- &= \\ &= g(t) - 2\Phi_1(t) - 2\bar{\Omega}_1(t) \end{aligned} \quad (1.9)$$

Решая краевые задачи (1.9), находим [1, 3]

$$\Phi(z) = \Phi_1(z) + \frac{Q(z)}{X(z)} + \frac{D(z)}{X(z)} + \frac{P(z)}{X(z)} + \frac{A(z) - \bar{C}(z)}{2} + c_0 + f_0(z) \quad (1.10)$$

$$\Omega(z) = \Omega_1(z) + \frac{\bar{Q}(z)}{X(z)} + \frac{\bar{D}(z)}{X(z)} + \frac{\bar{P}(z)}{X(z)} - \frac{\bar{A}(z) - C(z)}{2} - \bar{c}_0 + f_1(z)$$

Здесь

$$D(z) = \sum_{m=1}^M \left[\frac{r_{1m}}{z - z_m} + \frac{r'_{1m}}{z - z_m} + \frac{r'_{2m}}{(z - z_m)^2} \right] \quad (1.11)$$

$$X(z) = \prod_{n=1}^N V(z - a_n)(z - b_n) \quad (1.12)$$

$$Q(z) = -\frac{1}{2\pi i} \int_L \frac{X(t)[\Phi_1(t) + \bar{\Omega}_1(t)] dt}{t - z} \quad (1.13)$$

$$f_0(z) = \frac{1}{4\pi i} \int_L \frac{p(t) dt}{t - z} + \frac{1}{4\pi i X(z)} \int_L \frac{X(t)g(t) dt}{t - z} \quad (1.14)$$

$$f_1(z) = \frac{1}{4\pi i} \int_L \frac{\bar{p}(t) dt}{t - z} + \frac{1}{4\pi i X(z)} \int_L \frac{X(t)\bar{g}(t) dt}{t - z} \quad (1.15)$$

$$P(z) = d_0 z^N + d_1 z^{N-1} + \dots + d_N \quad (1.16)$$

произвольный полином степени N ; c_0 — постоянная.

Сравнивая представления функций (1.4) и (1.10) в окрестности точек $z = z_m, z = \infty$, находим

$$2c_0 = \Gamma - \bar{\Gamma} - \bar{\Gamma}'; \quad 2d_0 = \Gamma + \bar{\Gamma} + \bar{\Gamma}'$$

$$d_1 = -\frac{(1-x)(X+iY)}{2\pi(1+x)} - d_0(a_1 + b_1 + \dots + a_N + b_N)$$

$$2r_{1m} = -P_m X(z_m); \quad 2r'_{1m} = x P_m X(z_m) + z_m \bar{P}_m X'(z_m)$$

$$2r'_{2m} = z_m \bar{P}_m X(z_m); \quad X + iY = \sum_{m=1}^M (X_m + iY_m) \quad (1.17)$$

Коэффициенты d_n ($n = \overline{2, N}$) определяются из условий однозначности перемещений при обходе по контурам, окружающим разрезы [1, 3].

Используя метод интегралов типа Коши [3], получаем

$$\frac{1}{2\pi i} \int_L \frac{X(t)[\Phi_1(t) + \bar{\Omega}_1(z)] dt}{t - z} = \frac{X(z)[\Phi_1(z) + \bar{\Omega}_1(z)]}{2} - \frac{G_1(z) + \bar{G}_2(z)}{2} \quad (1.18)$$

где $G_1(z), \bar{G}_2(z)$ — главные части соответственно разложений функций $X(z)\Phi_1(z), X(z)\bar{\Omega}_1(z)$ в полюсах $z = z_m$. Окончательно для функций (1.14) находим

$$\Phi(z) = \frac{\Phi_1(z) - \bar{\Omega}_1(z)}{2} + \frac{G_1(z) + G_2(z)}{2X(z)} + \frac{D(z)}{X(z)} + \frac{P(z)}{X(z)} + \frac{A(z) - \bar{C}(z)}{2} + c_0 + f_0(z) \quad (1.19)$$

$$\Omega(z) = \frac{\Omega_1(z) - \bar{\Phi}_1(z)}{2} + \frac{\bar{G}_1(z) + G_2(z)}{2X(z)} + \frac{\bar{D}(z)}{X(z)} + \frac{\bar{P}(z)}{X(z)} - \frac{\bar{A}(z) - C(z)}{2} - \bar{c}_0 + f_1(z)$$

Неизвестные функции $\Phi_1(z)$, $\Omega_1(z)$ определяются из граничных условий на контурах L_m . Так, если на контуре L_m заданы напряжения τ_r , τ_{r0} , то

$$\Phi(t) + \bar{\Phi}(t) - \exp(2i\theta) [(\bar{t} - t)\Phi'(t) - \Phi(t) + \Omega(t)] = \tau_r + i\tau_{r0} \quad (1.20)$$

Функции (1.19) с точностью до обозначений совпадают с общими выражениями для $\Phi(z)$, $\Omega(z)$, полученными в работе [1] методом введения дополнительных областей. Заметим, что $\bar{G}_1(z)X^{-1}(z) - \bar{\Phi}_1(z)$, $\bar{G}_2(z)X^{-1}(z) - \bar{\Omega}_1(z)$ в области S не имеют особенностей.

В случае, когда область S является конечной с внешним контуром L_0 , решение задачи строится аналогичным образом. При этом функции $\Phi_1(z)$, $\Omega_1(z)$ будут содержать также дополнительные слагаемые $\Phi_2(z) = \sum_{k=0}^{\infty} a_k z^k$, $\Omega_2(z) = \sum_{k=0}^{\infty} b_k z^k$, которые представляют собой функции, голоморфные внутри L_0 . Поэтому к главным частям $G_1(z)$ и $G_2(z)$ добавляются соответствующие главные части $G_{10}(z)$, $G_{20}(z)$ функций $X(z)\Phi_1(z)$, $X(z)\Omega_1(z)$ в точке $z = \infty$. Для конечной области $P(z) = 0$, $c_0 = 0$.

§ 2. Функции, голоморфные вне криволинейного контура L_m ($m = 1, M$) представим в виде разложений по полиномам Фабера $P_{mk}(z)$ для бесконечной области с границей L_m . Полиномы $P_{mk}(z)$ представляются [5] многочленами порядка k по отрицательным степеням $z - z_m$, где z_m — произвольная точка внутри L_m . Учитывая это, для функций $\Phi_1(z)$, $\Omega_1(z)$ получим

$$\Phi_1(z) = \sum_{m=1}^M \sum_{k=1}^{\infty} 2a_{mk} (z - z_m)^{-k}; \quad \Omega_1(z) = \sum_{m=1}^M \sum_{k=1}^{\infty} 2b_{mk} (z - z_m)^{-k} \quad (2.1)$$

В окрестности точки $z = z_m$

$$\begin{aligned} X(z) &= \sum_{p=0}^{\infty} A_{mp} (z - z_m)^p; \quad \Phi_1(z) X(z) = \\ &= \sum_{k=1}^{\infty} \sum_{p=0}^{\infty} 2a_{mk} A_{mp} (z - z_m)^{p-k} + O(1) = \end{aligned}$$

$$= \sum_{r=1}^{\infty} (z - z_m)^{-r} \sum_{k=r}^{\infty} 2A_{mk-r} a_{mk} + O(1) \quad (2.2)$$

$$\Omega_1(z) X(z) = \sum_{r=1}^{\infty} (z - z_m)^{-r} \sum_{k=r}^{\infty} 2A_{mk-r} b_{mk} + O(1)$$

где $O(1)$ — ограниченная величина; δ_i^j — символ Кронекера. Из формул (1.18) и (2.2) следует, что

$$\begin{aligned} G_1(z) &= \sum_{m=1}^M \sum_{k=1}^{\infty} (z - z_m)^{-k} \sum_{p=k}^{\infty} 2A_{mp-k} a_{mp} \\ G_2(z) &= \sum_{m=1}^M \sum_{k=1}^{\infty} (z - z_m)^{-k} \sum_{p=k}^{\infty} 2A_{mp-k} b_{mp} \end{aligned} \quad (2.3)$$

Подставляя выражения (2.3) в формулы (1.19), получим

$$\begin{aligned} \Phi(z) &= \frac{D(z)}{X(z)} + \frac{P(z)}{X(z)} + \frac{A(z) - \bar{C}(z)}{2} + c_0 + f_0(z) + \\ &+ \sum_{m=1}^M \sum_{k=1}^{\infty} \left\{ \frac{1}{(z - z_m)^k} \left[a_{mk} + X^{-1}(z) \sum_{p=k}^{\infty} A_{mp-k} a_{mp} \right] + \right. \\ &\left. + \frac{1}{(z - z_m)^k} \left[-\bar{b}_{mk} + X^{-1}(z) \sum_{p=k}^{\infty} A_{mp-k} \bar{b}_{mp} \right] \right\} \end{aligned} \quad (2.4)$$

$$\begin{aligned} \Omega(z) &= \frac{\bar{D}(z)}{X(z)} + \frac{\bar{P}(z)}{X(z)} - \frac{\bar{A}(z) - C(z)}{2} - \bar{c}_0 + f_1(z) + \\ &+ \sum_{m=1}^M \sum_{k=1}^{\infty} \left\{ \frac{1}{(z - z_m)^k} \left[b_{mk} + X^{-1}(z) \sum_{p=k}^{\infty} A_{mp-k} b_{mp} \right] + \right. \\ &\left. + \frac{1}{(z - z_m)^k} \left[-\bar{a}_{mk} + X^{-1}(z) \sum_{p=k}^{\infty} A_{mp-k} \bar{a}_{mp} \right] \right\} \end{aligned}$$

Неизвестные коэффициенты a_{mk} , b_{mk} определяются из граничных условий на контурах L_m .

§ 3. Пусть бесконечная пластинка с трещиной длиной $2l$ и круговым отверстием растягивается усилиями интенсивности p , приложенными на бесконечности перпендикулярно линии трещины (фиг. 1). Центр отверстия находится в точке $z = z_0$. В этом случае

$$P_m = 0; \quad A(z) = C(z) = D(z) = f_0(z) = 0$$

$$\Gamma = \bar{\Gamma} = \frac{p}{4}; \quad \Gamma' = \bar{\Gamma}' = -\frac{p}{2}; \quad c_0 = -\frac{\Gamma'}{2}, \quad d_0 = \frac{2\Gamma + \Gamma'}{2}; \quad d_1 = 0$$

$$X(z) = \sqrt{z^2 - l^2}; \quad P(z) = d_0 z$$

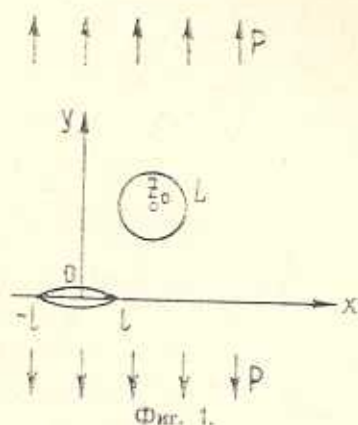
$$\Phi_1(z) = \sum_{k=1}^{\infty} \frac{a_k}{(z-z_0)^k}; \quad \Omega_1(z) = \sum_{k=1}^{\infty} \frac{b_k}{(z-z_0)^k} \quad (3.1)$$

Функции (2.4) примут вид

$$\begin{aligned} \Phi(z) &= \frac{d_0 z}{X(z)} + c_0 + \sum_{k=1}^{\infty} \left[\frac{a_k}{(z-z_0)^k} - \frac{\bar{b}_k}{(z-\bar{z}_0)^k} \right] + \\ &+ \frac{1}{X(z)} \sum_{k=1}^{\infty} \sum_{\mu=k}^{\infty} \left[\frac{A_{\mu-k} a_{\mu}}{(z-z_0)^k} + \frac{\bar{A}_{\mu-k} \bar{b}_{\mu}}{(z-\bar{z}_0)^k} \right] \end{aligned} \quad (3.2)$$

$$\begin{aligned} \Omega(z) &= \frac{d_0 z}{X(z)} - c_0 + \sum_{k=1}^{\infty} \left[\frac{b_k}{(z-z_0)^k} - \frac{\bar{a}_k}{(z-\bar{z}_0)^k} \right] + \\ &+ \frac{1}{X(z)} \sum_{k=1}^{\infty} \sum_{\mu=k}^{\infty} \left[\frac{A_{\mu-k} b_{\mu}}{(z-z_0)^k} + \frac{\bar{A}_{\mu-k} \bar{a}_{\mu}}{(z-\bar{z}_0)^k} \right] \end{aligned}$$

Применяя метод рядов, из граничного условия (1.20) получим бесконечную систему линейных алгебраических уравнений для определения неизвестных постоянных a_n, b_n .



Фиг. 1.

Приведенное решение упрощается при $z_0 = \bar{z}_0 = h$. Если в последнем случае обозначить

$$\alpha_k = a_k - b_k; \quad \beta_k = \sum_{n=k}^{\infty} A_{n-k} (a_n + b_n)$$

то

$$\begin{aligned} \Phi(z) &= \frac{d_0 z}{X(z)} + c_0 + \sum_{k=1}^{\infty} \frac{\alpha_k}{(z-h)^k} + \frac{1}{X(z)} \sum_{k=1}^{\infty} \frac{\beta_k}{(z-h)^k} \\ \Omega(z) &= \frac{d_0 z}{X(z)} - c_0 - \sum_{k=1}^{\infty} \frac{\alpha_k}{(z-h)^k} + \frac{1}{X(z)} \sum_{k=1}^{\infty} \frac{\beta_k}{(z-h)^k} \end{aligned} \quad (3.3)$$

Формулы (3.2) и (3.3) по существу совпадают с окончательными выражениями для функций $\Phi(z)$, $\Omega(z)$, полученными методом последовательных приближений [2].

Подставляя функции (3.3) в граничное условие (1.20) и применяя метод рядов, получим следующую бесконечную систему линейных алгебраических уравнений:

$$\begin{aligned} \sum_{p=1}^{\infty} [B_p - (1 - \delta_k^1) B_{p-2}] b_p &= -c_0 - G_0 \\ (1 + \delta_k^1) a_k + \sum_{l=k}^{\infty} (1 - \delta_k^1) B_{l-k} b_l + \sum_{p=1}^{\infty} [(1-k) B_{p+k} + \\ + (1 - \delta_k^1 - \delta_k^2) (k-2) B_{p+k-2}] b_p &= -2\delta_k^2 c_0 - (1-k) G_k - \\ &\quad - (1 - \delta_k^1 - \delta_k^2) (k-2) G_{k-2} \\ (1+k) a_k - k a_{k+2} + \sum_{l=k}^{\infty} (1+k) B_{l-k} b_l &= \quad (3.4) \\ - \sum_{l=k+2}^{\infty} (k+2) B_{l-k-2} b_l + \sum_{p=1}^{\infty} B_{k-p} b_p &= -G_k \\ a_1 = 0; \quad \sum_{l=1}^{\infty} B_{l-1} b_l &= 0 \end{aligned}$$

где

$$B_i = \frac{(-1)^i}{2^{2i} \sqrt{h^2 - l^2}} \sum_{p=0}^i \frac{(2i-2p)! (2p)!}{((i-p)!)^2 (p!)^2 (h+l)^{i-p} (h-l)^p}$$

$$G_i = d_0 [h B_i + (1 - \delta_i^0) B_{i-1}]$$

Последние два уравнения системы (3.4) получены из условия равенства нулю вычетов функций (3.3) в точке $z = h$.

После решения системы (3.4) коэффициенты a_k , b_k , а следовательно, и функции (3.3), будут известными, что позволит вычислить напряжения, а также коэффициент интенсивности напряжений:

$$k_1^{\pm} = 2d_0 \sqrt{l} + \sum_{k=1}^{\infty} \frac{2}{\sqrt{l}} \frac{a_k}{(\pm l - h)^k}$$

Здесь верхний знак относится к правому концу трещин, нижний — к левому концу.

На ЭВМ были проведены численные исследования распределения напряжений и изменения коэффициента интенсивности напряжений.

В табл. 1, 2 для случая $l = 1$ с точностью до множителя p приведены значения напряжений σ_{ij}/p около контура отверстия и коэффициента интенсивности напряжений. Эти результаты хорошо согласуются с известными [1, 4].

Таблица 1

$h-l-1$	θ , град.										
	0	30	60	90	120	150	160	170	174	176	180
0,5	3,22	2,18	0,08	-1,06	0	2,77	3,51	3,54	3,37	3,29	3,22
0,1	3,43	2,37	0,17	-1,19	-0,49	2,34	4,22	7,24	7,94	7,07	3,43
0,05	3,49	2,43	0,21	-0,93	-0,64	1,85	3,70	7,50	10,69	10,25	3,92

Таблица 2

$h-l-1$	1	0,5	0,25	0,1	0,05
k_1^+/p	1,157	1,355	1,656	2,176	2,660
k_1^-/p	1,065	1,112	1,165	1,229	1,269

Как показывают численные исследования, взаимное влияние отверстия и трещины на напряженное состояние около друг друга существенно, если длина перемычки меньше половины радиуса отверстия или длины трещины. При дальнейшем сближении отверстия с трещиной происходит резкое увеличение значения напряжений около отверстия и трещины и в зоне между ними.

ԲԱԶՄԱԿԱԳ ՍԱԼԻ ՀԱՄԱՐ ՃԱՔԵՐԻ ՏԵՍՈՒՔՅԱՆ ՀԱՐՔ ԽՆԴՐԻ ԿՈՄՊԼԵՔՍ ՊՈՏԵՆՑԻԱԼՆԵՐ

Ս. Ա. ԿԱԼՈՅԵՐՈՎ

Ա մ փ ո փ ո լ մ

Խոտոչներով և ներքին ճաքերով բազմակապ սալի համար կոմպլեքս պոտենցիալները արտահայտված են բազմակապ տիրույթում հոլոմորֆ ֆունկցիաների միջոցով: Այդ ֆունկցիաները որոշվում են խոտոչների եզրագծերի վրա տրված եզրային պայմաններից:

THE COMPLEX POTENTIALS OF A PLANE PROBLEM THEORY OF THE CRACK FOR THE MULTIPLE CONNECTED PLATE

S. A. KALOYEROV

S u m m a r y

The complex potentials for a multiple connected plate with holes and inside cracks are expressed through functions holomorphic in a multiple connected region. These functions are defined on the boundary conditions on the contours of holes.

ЛИТЕРАТУРА

1. Калосров С. А. Задача теории упругости для многосвязных пластины с отверстиями и внутренними трещинами. Теоретическая и прикладная механика. Киев—Донецк: Вища школа. Головное изд-во, 1982, вып. 13.
2. Калосров С. А., Павленко В. И. Напряженное состояние пластинки с круговым отверстием и трещиной. Теоретическая и прикладная механика. Киев—Донецк: Вища школа. Головное изд-во, 1981, вып. 12.
3. Мусхелишвили Н. И. Некоторые основные задачи математической теории упругости. М.: Наука, 1966.
4. Паносюк В. В., Саврук М. П., Давышин А. П. Распределение напряжений около трещины в пластинах и оболочках. Киев: Наукова думка, 1976.
5. Смирнов В. И., Лебедев Н. А. Конструктивная теория функций комплексного переменного. М.—Л.: Наука, 1964.

Донецкий государственный
университет

Поступила в редакцию
22. III. 1982